

# 水闸工程观测

杨士斌 伍志刚 编著



中国水利水电出版社  
[www.waterpub.com.cn](http://www.waterpub.com.cn)

# 水闸工程观测

杨士斌 伍志刚 编著

出版社：中国水利水电出版社  
出版时间：2002年6月第1版  
印制时间：2002年6月第1次印刷  
开本：787×1092mm<sup>1/16</sup>  
印张：1.88DP·VI

书名：水闸工程观测  
作者：杨士斌、伍志刚主编  
定价：35.00元



中国水利水电出版社  
[www.waterpub.com.cn](http://www.waterpub.com.cn)

## 内 容 提 要

本书根据《水闸技术管理规程》要求，对水闸的稳定性监测进行了阐述，并附有观测实例加以说明，通俗易懂，有很好的可读性。

本书可供水闸管理人员参考，也可作为培训水闸监测人员的教材。

### 图书在版编目（CIP）数据

水闸工程观测/杨士斌，伍志刚编著. —北京：中国水利水电出版社，2007

ISBN 978-7-5084-4628-8

I. 水... II. ①杨... ②伍... III. 水闸—观测  
IV. TV698.1

中国版本图书馆 CIP 数据核字(2007)第 073020 号

书名	水闸工程观测
作者	杨士斌 伍志刚 编著
出版发行	中国水利水电出版社（北京市三里河路 6 号 100044） 网址： <a href="http://www.waterpub.com.cn">www.waterpub.com.cn</a> E-mail： <a href="mailto:sales@waterpub.com.cn">sales@waterpub.com.cn</a> 电话：(010) 63202266（总机）、68331835（营销中心）
经售	北京科水图书销售中心（零售） 电话：(010) 88383994、63202643 全国各地新华书店和相关出版物销售网点
排版	北京市展博雅图文设计制作中心
印刷	北京市兴怀印刷厂
规格	787mm×1092mm 32 开本 4.25 印张 98 千字
版次	2007 年 6 月第 1 版 2007 年 6 月第 1 次印刷
印数	0001—2000 册
定价	15.00 元

凡购买我社图书，如有缺页、倒页、脱页的，本社营销中心负责调换

版权所有·侵权必究

## 前　　言

水闸是调节水位，控制流量的低水头水工建筑物。主要依靠闸门控制水流，具有挡水和泄（引）水的双重功能，在防洪、治涝、灌溉、供水、航运、发电等方面应用十分广泛。

水闸在复杂的自然条件影响下及人类活动（如车辆交通等）作用下，其状态随时都在发生变化，当设计、施工不够完善或管理运用不当，则很容易发生缺陷，如果不及时维护，缺陷必将逐渐发展，影响安全运用，严重的导致失事。所以必须注重管理，防止缺陷的发生和发展。

一个工程有缺陷，如果能管好用好，在管理运用的过程中，不断加以改善，则仍然可以发挥很好的效益；相反，一个质量较好的水利工程，如果管理不善，则不但不能充分发挥其效益，还会不断损坏，甚至造成事故。

我国广大平原地区的水闸，大都建在松散的软土地基上，而这种软土具有变形大、不均匀沉降和易液化的特征，如遇地震、洪水和地基渗漏等外力作用，对水闸的安全性造成影响，严重时乃至破坏。因此，加强对这类水闸枢纽的安全监测工作是十分重要的。

根据 SL 75—94《水闸技术管理规程》规定，水闸必须观测项目有：垂直位移、扬压力、裂缝、混凝土碳化、河床变形、水位流量。水闸专门性观测项目有：水平位移、绕渗、伸缩缝、水流形态、水质、泥沙、冰凌等。由于工程原型观测是工程施工和运行安全监测的重要手段，因此，水闸

的观测项目是水闸管理不可缺少的组成部分。

限于篇幅，本书仅对水闸技术管理必须检查的垂直位移、水平位移、河床变形、渗流及水闸两侧堤防的安全监测项目作必要的阐述，为帮助读者便于理解，在书末附了一些有关的示例。

在本书的编写过程中，周通高工、李秀明教授提出了宝贵的意见，在此表示感谢。

由于编写者水平有限，如有不当和疏漏之处，真诚欢迎同仁们指正。

**编写者**

2007年3月20日

# 目 录

## 前言

<b>第一章 水闸垂直位移观测</b>	1
1. 1 概述	1
1. 2 水闸的组成和垂直位移观测点的布设	2
1. 3 水闸垂直位移观测的特点	3
1. 4 水闸垂直位移观测的方法和要求	4
1. 5 水闸垂直位移观测精度指标的确定	5
1. 6 采用水准测量进行水闸垂直位移观测的精度分析	7
1. 7 垂直位移观测水准测量等级、限差及测次的规定	11
1. 8 水闸垂直位移观测资料的整理及分析	12
1. 9 海河委下游局五闸枢纽垂直位移观测的特殊性	16
<b>第二章 水闸水平位移观测</b>	20
2. 1 概述	20
2. 2 视准线法测量水平位移的原理、方法、精度分析及测次	20
2. 3 工作基点位移的检查	32
2. 4 软土地基区水闸水平位移观测基准点漂移计算	33
2. 5 水闸水平位移观测与垂直位移观测资料的整理与分析	35
2. 6 采用 GPS 测量进行水闸水平位移和垂直位移观测的研究	35
<b>第三章 渗流与扬压力观测</b>	40
3. 1 渗流与扬压力观测项目分类	40
3. 2 绕闸渗流观测	40

3.3 扬压力观测	41
3.4 观测仪器设备与观测方法	43
3.5 阀体孔隙压力	49
3.6 阀基扬压力	52
3.7 资料整理与计算	54
<b>第四章 河床变形测量</b>	<b>60</b>
4.1 河床变形测量的目的	60
4.2 河床变形测量的方法、范围及测次	60
4.3 固定断面测量	60
4.4 河床地形测量	67
4.5 河床淤积或冲刷变化量的计算	74
<b>第五章 水闸两侧堤防安全监测</b>	<b>75</b>
5.1 目的	75
5.2 堤防安全监测类型	76
5.3 巡视检查	76
5.4 现场检测	78
5.5 变形监测	79
5.6 渗流监测	82
5.7 监测资料的整编与分析	82
<b>附录一 某水闸监测点实测位移过程线图变化规律分析     (模拟示例)</b>	<b>87</b>
<b>附录二 某水闸各测点位移观测值年际变化情况     (模拟示例)</b>	<b>104</b>
<b>附录三 嶙山闸扬压力异常原因分析(实例)</b>	<b>107</b>
<b>附录四 某滞洪水库中堤表面位移、渗流观测和     水闸绕渗观测技术设计方案(实例)</b>	<b>119</b>
<b>参考文献</b>	<b>127</b>

# 第一章 水闸垂直位移观测

## 1.1 概述

水工建筑物的一部分观测项目如垂直位移、水平位移等，都是先在建筑物外表面设置测点，后在这些测点上安装仪器进行观测。因此，习惯上称其为外部观测项目。外部观测项目使用的仪器有水准仪、全站仪、GPS接收机等。因外部观测项目中的观测比较直观，能够反映水工建筑物的宏观状态，所以对大中型水利工程是必要的。水闸变形观测是外部观测项目中的一个重要方面，必须予以重视。

水闸垂直位移观测是利用水准仪等设备，连续定期测量水闸工程上的特定测点在垂直方向上的变化，以分析水闸整体垂直方向的状态变化。一般规定向下的垂直位移为正值，向上的垂直位移为负值。影响水闸垂直位移的因素很多，作用在闸身上的各种荷载都有可能引起垂直位移的变化，也影响垂直位移观测的准确性。水闸垂直位移是由于水闸自荷重作用下的闸体压缩变形，以及温度、湿度变化而引起水闸混凝土的涨缩等原因所造成的。垂直位移的异常变化，预示着某种原因或综合影响的发展。因此，配合其他有关项目（上、下游水位、过闸流量及气温等）的观测资料进行分析，可以掌握水闸地基的异常状态，及时发现险情。垂直位移观测是水闸安全监测的基本项目，对判断水闸工程是否安全和评价其设计施工质量具有重要的意义。

## 1.2 水闸的组成和垂直位移观测点的布设

水闸的主体由闸身和上、下游连接建筑物的翼墙所组成，如图1-1所示。闸身由闸门、闸底板、闸墩和岸墙组成，其上架设工作桥和公路桥。闸的进口和出口筑成八字形的翼墙，以防水流冲刷。

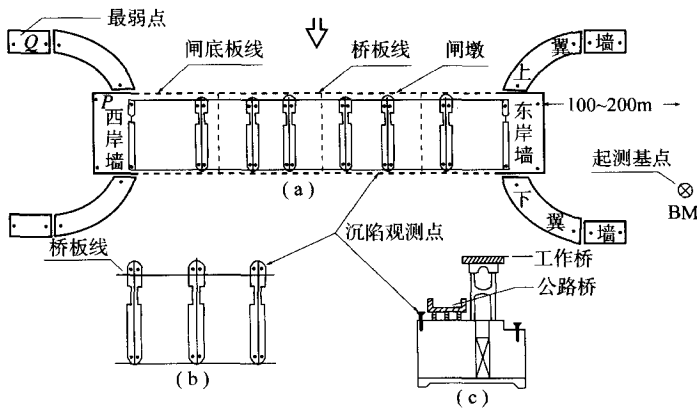


图1-1 水闸工程及沉陷观测点布置示意图

水闸的垂直位移观测就是观测闸墩、岸墙和翼墙三大部位的垂直位移。

水闸建成后，沉陷观测点布设在建筑物的上部。图1-1是一座具有7个闸孔的水闸。沉陷观测点布设在公路桥和工作桥分块桥板的4个棱角处，用以监视闸墩的垂直变量。除此之外，在岸墙和翼墙上也埋设一定数量的观测点。图1-1所示的水闸共埋设了48个沉陷观测点。

至于水闸沉陷观测点的数目与布设部位，应视观测目

的、土质情况、闸身受力的部位和观测方法而定。一般较长的水闸在每隔 2 孔或 3 孔的块板上布设测点。当水闸闸墩的尖端伸出桥边一段长度时，沉陷观测点直接埋设在尖端处，如图 1-1 (b)。

为了测定沉陷观测点的高程，在河两岸离岸墙 100 ~ 200 m 处各埋设一个起测基点，又称工作基点。起测基点必须由高一级的水准点（水准基点）每年引测一次，以便验证其高程有无变动。

### 1.3 水闸垂直位移观测的特点

水闸垂直位移的变化比较复杂。水闸建成后，闸的上、下游形成一定的水位差，闸室承受巨大的水平推力，使闸室向下游受压，甚至滑动。由于地基压缩性大，承载力低，在闸室自重以及外荷的作用下，地基有可能产生一些部位的升（降）和不均匀沉陷。根据实测资料分析，水闸的垂直位移有以下特点：

#### 1.3.1 水闸的不均匀沉陷性

实践表明：岸墙和翼墙的沉陷量比闸室部位的沉陷量大。闸墩最大的沉陷量发生在靠两岸的岸坡处，中间部位的下沉量较小。由于上、下游水位的变化（挡潮闸下游的水位经常高于上游水位），使闸室产生横向倾斜，例如上游端下沉，下游端上升，或者相反。在靠岸处的闸底板，其纵向倾斜（垂直河流的方向）比横向倾斜大。大多数水闸汛前上升，而汛后下沉。

#### 1.3.2 沉陷观测点具有密度小、高差大的特点

由于水闸产生各种不均匀的沉陷，所以沉陷观测点布设的密度要大些，一般 10 ~ 30 m 设一点，而块缝的棱角处均

布有很近的两个点。另外上、下游翼墙的高差很大，伸出桥边外闸墩尖端与上游翼墙的高差也很大，一般在0~10 m之间。这就使水准测量工作量有所增加。

### 1.3.3 水准测量的不等距性

由于沉陷观测点的数目较多，水准测量不可能在每两个观测点之间安置一次仪器，一般要在一个测站上观测若干点。因此，观测工作必须在不影响精度的情况下，限制间视距、前视距和后视距不等差的限差。

## 1.4 水闸垂直位移观测的方法和要求

水闸沉陷观测主要采用水准测量方法。即以水准基点高程为基准，引测至起测基点高程，再以起测基点高程，引测水闸变形前后测点的高程变化，求得该点的垂直位移。垂直位移观测采用三级测点，两级控制。三级测点即水准基点、引测基点和垂直位移标点；两级控制即由水准基点校测起测基点，再由起测基点观测位移标点。进行水准测量之前，先要检校水准仪和水准尺，使其符合要求后，再进行水准测量。观测前，先校核水准基点高程，然后将水准基点与起测基点组成水准环线或水准网进行接测。根据调查，各水闸工程管理单位采用的水准测量方法各不相同，有普通水准、三等水准、三丝读数法和精密水准等。究竟采用何种精度施测，本文将在下面讨论。这里主要根据沉降观测点的分布情况阐述观测方法。

图1-1中沉降观测点的布设是有代表性的。观测时不必专门布置高程控制网。一般自起测基点开始，沿公路桥和工作桥（包括两岸的岸墙）组成一条长条形的闭合环线。为了提高精度，可变换仪器高观测或进行往返观测。观测翼

墙上的点时，可以从岸墙上一点开始，向上游或向下游组成4条支水准路线，支线水准必须变换仪器高观测或进行往返观测，每条支线安置仪器的次数随岸墙到翼墙端点的高差而定，一般1~2站就可完成。

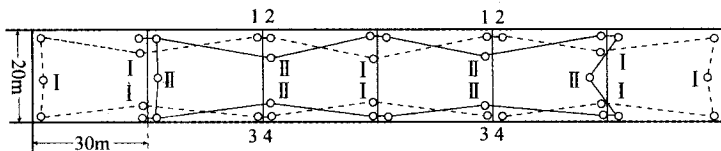


图 1-2 跳点观测方法闭合水准路线图

如果河流的两岸均布设有起测基点，主线的观测可按附合水准路线进行。

如果水闸较长，块板观测点间距为30~40 m，可考虑用跳点观测法，如图1-2所示的块板尺寸为20 m×30 m，块板接缝的两个观测点（图1-2中的1、2或3、4）靠得很近，施测时，选择一点当作转点，另一个作为间视点。这种观测方法可以保证前、后视距相等的条件。图1-2中I路线和II路线为两个闭合环线。

水闸垂直位移观测应遵循下面基本要求：

(1) 根据理论研究，水准仪的 $i$ 角控制在 $10''$ 之内，干线水准前、后视距不等差小于1 m。间视点前、后视距不等差小于5 m。

(2) 首次观测时，应做到4个固定：人员固定、仪器固定、测站固定、转点固定。

## 1.5 水闸垂直位移观测精度指标的确定

判断建筑物安全的依据，一般以地基的沉降量和地基的

差异沉降（不均匀沉降）为标准。观测精度的确定以这两个标准为依据。SL 265—2001《水闸设计规范》第8.3.6条规定：“土质地基允许最大沉降量和最大沉降差，应以保证水闸安全和正常使用为原则，根据具体情况研究确定。天然土质地基上水闸地基最大沉降量不宜超过150mm，相邻部位的最大沉降差不宜超过50mm。”地基沉降值是用土力学理论公式计算出来的（见SL 265—2001《水闸设计规范》）。其差异沉降值还不能用理论公式计算，但与我国GBJ 7—89《建筑地基基础设计规范》要求一致，规定差异沉降允许变形值为 $0.002L$ 或 $0.003L$ （ $L$ 为两点之间距离，即闸室横向宽度）。例如，闸室的横向宽度（上、下游方向）一般为 $15\sim20m$ ，现取 $L=17m$ ，分别算得： $0.002\times17=34mm$ ， $0.003\times17=51mm$ ，两本规范取差异沉降允许变形值为50mm。

至于观测中误差与差异沉降允许变形值之间的关系，可采用国际测量联合会（FIG）1971年大会上提出的取允许变形值的 $1/10\sim1/20$ 作为观测精度指标，此处采用允许变形值的 $1/10$ ，即： $50/10=5mm$ 。

沉降差是由两个沉降点两次观测平均值之差求得的，故一个沉降点的观测中误差应为： $m_{\text{点}}=2.5/2=\pm1.25mm$ 。

因此，水闸沉降观测必须保证上述精度。也就是说，必须保证最弱点的观测中误差小于 $\pm1.25mm$ 。

水闸垂直位移观测精度指标总结如下：

- (1) 水闸地基最大沉降量允许值为150mm。
- (2) 水闸的地基差异沉降允许值为50mm。
- (3) 差异沉降观测值的限差为 $m_{\text{限}}=50/10=5mm$ 。
- (4) 差异沉降观测中误差为 $m_{\text{中}}=5/2=2.5mm$ （中误

差为限差  $1/2$ )。

(5) 一个沉降观测点的观测中误差  $m_{\text{点}} = 2.5/2 = 1.25 \text{ mm}$ 。

## 1.6 采用水准测量进行水闸垂直位移观测的精度分析

根据调查，我国各地大中型水闸的长度为  $100 \sim 1000 \text{ m}$  左右，多数为  $100 \sim 400 \text{ m}$ 。起测水准基点在闸岸墙  $100 \sim 200 \text{ m}$ ，如果组成闭合水准路线，则水准路线的长度为  $200 \sim 2000 \text{ m}$ ，属于多测站、短线路的水准测量。

### 1.6.1 测站高差中误差的确定

根据生产单位采用的水准测量方法，对普通水准（三等红、黑面水准和三丝读数法水准）及精密水准作如下计算。

水准测量的精度主要取决于气泡的置中误差和照准标尺估读误差。现采用契巴塔廖夫提出的估算公式，即：

$$m_{\text{置}} = (0.21 + 0.035\tau) S/\rho$$

$$m_{\text{照}} = 0.04t + 0.156S/V$$

$$m_{\text{观}} = \pm \sqrt{m_{\text{置}}^2 + m_{\text{照}}^2}$$

$$m_{\text{站}} = m_{\text{观}}\sqrt{2}$$

式中： $\tau$ 、 $V$ 、 $t$  和  $S$  分别为水准管分划值、望远镜放大倍数、水准尺最小分划宽度（以  $\text{mm}$  计）和水准尺到水准仪的距离。 $m_{\text{观}}$  为在水准尺上读数的中误差（精密水准取基辅尺读数的平均值；三等水准取红、黑面读数的平均值，则  $m_{\text{站}} = m_{\text{观}}$ ）。现以 S1 型水准仪 ( $\tau = 10''/2 \text{ mm}$ ,  $V = 40$  倍,  $t = 0.05 \text{ mm}$ ) 和 S3 型水准仪 ( $\tau = 20''/2 \text{ mm}$ ,  $V = 30$  倍,  $t = 10 \text{ mm}$ )

的技术参数代入上面4式，分别算得精密水准、三丝读数法水准、三等双面尺中丝法水准和普通单面一次读数水准的 $m_{\text{观}}$ 和 $m_{\text{站}}$ 列于表1-1。

表1-1 测站高差中误差表 单位：m

测量方法	中误差 $m$	S (m)				
		10	20	30	40	50
精密水准	$m_{\text{站}} = m_{\text{观}}$	0.05	0.09	0.14	0.19	0.24
三等中丝法水准（双面尺）	$m_{\text{站}} = m_{\text{观}}$	0.45	0.51	0.58	0.63	0.70
三丝读数法水准（单面尺）	$m_{\text{观}}$	0.26	0.29	0.33	0.36	0.40
	$m_{\text{站}}$	0.37	0.41	0.47	0.51	0.56
普通一次读数水准（单面尺）	$m_{\text{观}}$	0.45	0.51	0.58	0.63	0.70
	$m_{\text{站}}$	0.63	0.72	0.82	0.89	0.99

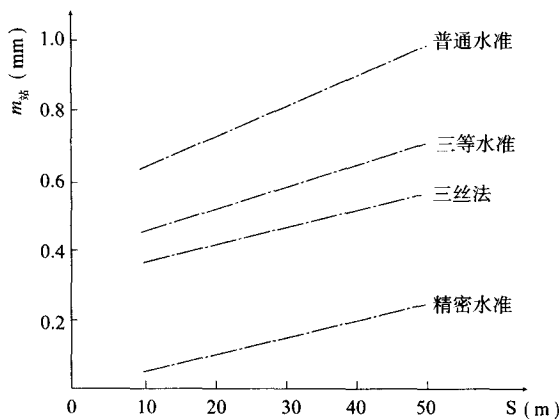


图1-3 不同水准测量方法测站高差中误差示意图

## 1.6.2 最弱点的观测中误差

根据上面介绍的观测方法，水闸沉陷观测分为两部分，一是施测长条形的闭合水准干线（或附合水准）；二是测定翼墙上各个观测点的高程。例如图 1-1 中，闭合环线的最弱点是 P 点，由 P 点测至翼墙的 Q 点，在测定 Q 点时，可能存在  $i$  角对间视点不等差的影响。故在最不利的情况下，Q 点的总误差为

$$m_Q = \pm \sqrt{m_p^2 + m_{\text{支}}^2(\text{支}) + m_q^2(i)}$$

1. 闭合水准路线最弱点  $P$  的中误差  $m_p$

众所周知，水准路线平差后最弱点的中误差由下式计算：

$$m_p = \pm m_{\text{站}} \sqrt{n/2}$$

式中： $n$  为测站数（偶数）。

现以不同的情况，算得  $m_p$  值见表 1-2 所示

表 1-2 闭合水准路线最弱点  $m_p$  的计算表 单位：mm

测量方法	距离 $S$ 与 $m_{\text{站}}$	$n$								
		2	4	6	8	10	15	20	30	40
普通水准	$S = 30\text{m}$ , $m_{\text{站}} = 0.82$	0.59	0.82							
三等水准	$S = 30\text{m}$ , $m_{\text{站}} = 0.58$	0.41	0.58	0.71						
三丝读数法	$S = 40\text{m}$ , $m_{\text{站}} = 0.51$	0.29	0.41	0.50	0.58	0.65	0.79			
精密水准	$S = 50\text{m}$ , $m_{\text{站}} = 0.24$	0.17	0.24	0.29	0.34	0.38	0.46	0.53	0.65	0.76

### 2. 支水准路线 $m_{Q(\text{支})}$ 的计算

从岸墙上  $P$  点测向  $Q$  点，仪器安置 1~2 次，现以两次

计算不同情况的  $m_{q(\text{支})}$  值：

普通水准：取  $S = 30\text{m}$ ,  $m_{q(\text{支})} = \pm 0.82\sqrt{2} = \pm 1.16\text{ mm}$

三等水准：取  $S = 30\text{m}$ ,  $m_{q(\text{支})} = \pm 0.58\sqrt{2} = \pm 0.82\text{ mm}$

三丝法：取  $S = 40\text{m}$ ,  $m_{q(\text{支})} = \pm 0.51\sqrt{2} = \pm 0.72\text{ mm}$

精密水准：取  $S = 50\text{m}$ ,  $m_{q(\text{支})} = \pm 0.24\sqrt{2} = \pm 0.34\text{ mm}$

### 3. 间视不等差 $m_{q(i)}$ 的计算

设水准仪的  $i$  角为  $10''$ , 不等差  $\Delta S = 10\text{m}$ , 算得  $m_{q(i)} = \pm 0.48\text{ mm}$

### 4. 总的误差 $m_q$

普通水准：取  $S = 30\text{m}$ ,  $n = 2$ ,

$$m_q = \pm \sqrt{0.59^2 + 1.16^2 + 0.48^2} = \pm 1.38\text{ mm}$$

三等水准：取  $S = 30\text{m}$ ,  $n = 6$ ,

$$m_q = \pm \sqrt{0.71^2 + 0.82^2 + 0.48^2} = \pm 1.19\text{ mm}$$

三丝法：取  $S = 50\text{m}$ ,  $n = 15$ ,

$$m_q = \pm \sqrt{0.79^2 + 0.72^2 + 0.48^2} = \pm 1.17\text{ mm}$$

精密水准：取  $S = 50\text{m}$ ,  $n = 40$ ,

$$m_q = \pm \sqrt{0.76^2 + 0.34^2 + 0.48^2} = \pm 0.96\text{ mm}$$

上面计算可以看出：

(1) 除普通水准  $m_q = \pm 1.38\text{ mm}$  外，其余情况均未超过沉降点观测中误差  $\pm 1.25\text{ mm}$  的精度指标。

(2) 普通水准测量方法一般不宜采用，但可考虑用于长度不超过  $100\text{m}$  ( $n < 4$ ) 的水闸，但支站以一站为宜。

(3) 三丝法观测可用于长度不超过  $400\text{ m}$  的水闸，视距  $S$  控制在  $30 \sim 40\text{m}$ ，测站数  $n$  控制在 15 个以内。

(4) 三等水准测量用于长度不超过  $200\text{m}$  的水闸，视距